

**Chapitre 2: Tenseur des contraintes (4 semaines)**

Coupure, facette et vecteur contrainte, Formule de Cauchy, tenseur des contraintes, Equations d'équilibre, Contraintes principales et directions principales, Invariants scalaires du tenseur des contraintes, Tenseur sphérique et déviateur.

**Chapitre II: Tenseur des contraintes**

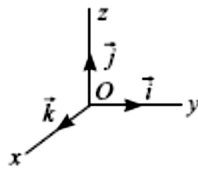
**II.1. Présentation [3]:**

La **théorie de l'élasticité** étudie les **déplacements**, les **déformations** et les **contraintes** dans un solide soumis à des forces extérieures.

Nous adopterons les hypothèses suivantes :

- Le **matériau** est **homogène** (il a les mêmes propriétés en tout point) et **isotrope** (en un point donné, il a les mêmes propriétés dans toutes les directions).
- Le comportement du matériau est **linéaire** (les relations entre les contraintes et les déformations sont linéaires) et **élastique** (le solide reprend sa forme initiale dès que les forces appliquées sont supprimées).

Le repère  $\{O; x, y, z\}$  est un repère orthonormé direct ;  $\vec{i}$ ,  $\vec{j}$  et  $\vec{k}$  sont les vecteurs unitaires des axes (**figure II.1.**).

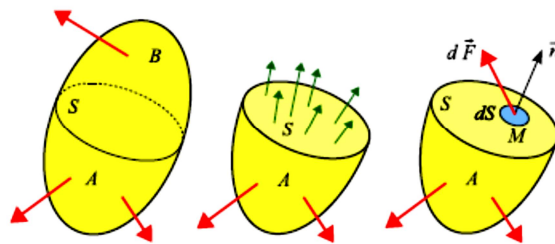


**Figure II.1.** Repère orthonormé  $\{O; x, y, z\}$  et vecteurs unitaires  $\{\vec{i}, \vec{j}, \vec{k}\}$

**II.2. Contraintes autour d'un point [3].**

**II.2. 1. Coupure, facette et vecteur contrainte**

En chaque point  $M$  d'un solide, il existe des forces intérieures que l'on met en évidence en effectuant une **coupure** du solide, par une surface  $S$ , en deux parties  $A$  et  $B$  (**figure II.2.**).



**Figure II.2.** – Coupure et facette  $\vec{n}$  en  $M$

La partie  $A$ , par exemple, est en équilibre sous l'action des forces extérieures qui lui sont directement appliquées et des forces intérieures réparties sur la coupure.

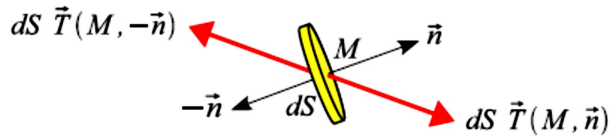
Considérons un point  $M$  de  $S$ . Soit  $dS$  un élément infinitésimal de la surface  $S$  entourant  $M$  et  $\vec{n}$  le vecteur unitaire, perpendiculaire en  $M$  à  $S$  et dirigé vers l'extérieur de la partie  $A$ . Nous appellerons cet ensemble **facette**  $\vec{n}$  en  $M$ .

Soit  $d\vec{F}$  la force qui s'exerce sur cette facette. On appelle **vecteur contrainte sur la facette  $\vec{n}$  en  $M$** , la quantité :

$$\vec{T}(M, \vec{n}) = d\vec{F}/dS$$

**Remarque :** une contrainte s'exprime en pascal (1 Pa = 1 N/m<sup>2</sup>) ; dans la pratique, on utilise souvent le mégapascal (1 MPa = 10<sup>6</sup> Pa = 1 N/mm<sup>2</sup>).

Considérons, en un point  $M$ , le cylindre infiniment petit d'axe  $\vec{n}$ , de hauteur  $h$  et de section  $dS$  (**figure II. 3.**).



**Figure II. 3.** Efforts sur les facettes  $\vec{n}$ , et  $-\vec{n}$ ,

Quand  $h$  tend vers 0, le cylindre est en équilibre sous l'action des forces  $dS \vec{T}(M, \vec{n})$  et  $dS \vec{T}(M, -\vec{n})$  d'où :

$$\vec{T}(M, \vec{n}) = -\vec{T}(M, -\vec{n})$$

### II.2.2. Contrainte normale et contrainte tangentielle [3].

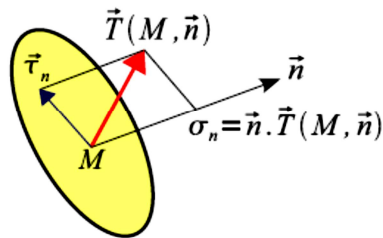
Le vecteur contrainte peut être décomposé en sa composante suivant  $\vec{n}$  et sa projection sur la facette (**figure II.4**) :

$$\vec{T}(M, \vec{n}) = \sigma_n \vec{n} + \vec{\tau}_n$$

Avec:

$$\sigma_n = \vec{n} \cdot \vec{T}(M, \vec{n})$$

$\sigma_n$  est la **contrainte normale** et  $\vec{\tau}_n$  est le **vecteur cisaillement** ou **contrainte tangentielle**.  $\sigma_n$  est une valeur algébrique positive (traction) ou négative (compression).



**Figure II.4.** Vecteur contrainte sur la facette  $\vec{n}$  en  $M$ .

**Remarque :** on a la relation (théorème de Pythagore) :

$$\|\vec{T}\|^2 = \sigma_n^2 + \|\vec{\tau}_n\|^2$$

### II.2.3. Formule de Cauchy : tenseur des contraintes [3].

Soit le tétraèdre infiniment petit  $MABC$  construit sur les axes  $x, y$  et  $z$  (**figure II. 5**). Soient  $\vec{n}$  de composantes  $(n_x, n_y, n_z)$  la normale unitaire au plan  $ABC$  dirigée vers l'extérieur du tétraèdre et  $dS$  l'aire du triangle  $ABC$ .

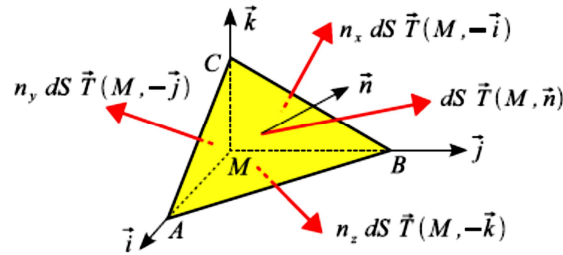


Figure II.5. Equilibre du tétraèdre (Cauchy)

On a :

$$\begin{aligned} \overline{AB} \wedge \overline{AC} &= 2dS \vec{n} = 2dS n_x \vec{i} + 2dS n_y \vec{j} + 2dS n_z \vec{k} \\ &= (\overline{MB} - \overline{MA}) \wedge (\overline{MC} - \overline{MA}) \\ &= (\overline{MB} \wedge \overline{MC}) - (\overline{MA} \wedge \overline{MC}) - (\overline{MB} \wedge \overline{MA}) + (\overline{MA} \wedge \overline{MA}) \\ &= \overline{MB} \wedge \overline{MC} + \overline{MC} \wedge \overline{MA} + \overline{MA} \wedge \overline{MB} + \vec{0} \\ &= 2 \text{ aire } (MBC) \vec{i} + 2 \text{ aire } (MAC) \vec{j} + 2 \text{ aire } (MAB) \vec{k} \end{aligned}$$

11

On en déduit par identification :

$$\text{aire } (MBC) = n_x dS, \quad \text{aire } (MAC) = n_y dS, \quad \text{aire } (MAB) = n_z dS$$

Le tétraèdre est en équilibre sous l'action des forces appliquées sur ses faces (les forces de volume sont des infiniment petits d'ordre supérieur) :

$$dS \vec{T}(M, \vec{n}) + n_x dS \vec{T}(M, -\vec{i}) + n_y dS \vec{T}(M, -\vec{j}) + n_z dS \vec{T}(M, -\vec{k}) = \vec{0}$$

Il vient après simplification :

$$\vec{T}(M, \vec{n}) + n_x \vec{T}(M, \vec{i}) + n_y \vec{T}(M, \vec{j}) + n_z \vec{T}(M, \vec{k}) = \vec{0}$$

Cette équation s'écrit sous forme matricielle :

$$\{\vec{T}(M, \vec{n})\} = [\{\vec{T}(M, \vec{i})\} \quad \{\vec{T}(M, \vec{j})\} \quad \{\vec{T}(M, \vec{k})\}] \{n\}$$

Soit:

$$\{\vec{T}(M, \vec{n})\} = [\sigma(M)] \{n\} \quad \text{(Formule de Cauchy)}$$

ou  $[\sigma(M)]$  est le **tenseur des contraintes de Cauchy** en  $M$ . Les composantes du tenseur des contraintes (**figure II. 6**) dans le repère  $\{\vec{i}, \vec{j}, \vec{k}\}$  sont :

$$\text{composantes sur } \begin{cases} \vec{i} \\ \vec{j} \\ \vec{k} \end{cases} \begin{bmatrix} \vec{T}(M, \vec{i}) & \vec{T}(M, \vec{j}) & \vec{T}(M, \vec{k}) \\ \sigma_{xx} & \sigma_{xy} & \sigma_{xz} \\ \sigma_{yx} & \sigma_{yy} & \sigma_{yz} \\ \sigma_{zx} & \sigma_{zy} & \sigma_{zz} \end{bmatrix}$$

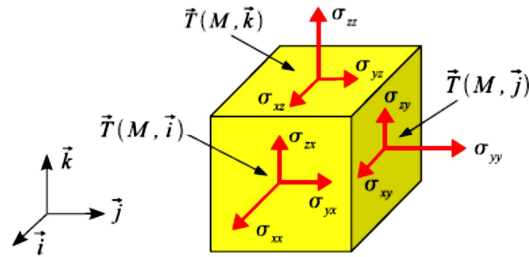


Figure II.6. Vecteur contrainte sur les facettes  $\vec{i}, \vec{j}$  et  $\vec{k}$  en  $M$

La contrainte normale sur la facette  $\vec{n}$  en  $M$  est égale à :

$$\sigma_n = \vec{n} \cdot \vec{T}(M, \vec{n}) = \{n\}^T [\sigma(M)] \{n\}$$

**Remarque :** sur la facette  $\vec{n}$  (figure II.7), le vecteur contrainte est :

$$\vec{T}(M, \vec{i}) = \sigma_{xx} \vec{i} + \sigma_{yx} \vec{j} + \sigma_{zx} \vec{k}$$

d'où la contrainte normale et le vecteur cisaillement :

$$\sigma_i = \vec{i} \cdot \vec{T}(M, \vec{i}) = \sigma_{xx}, \quad \vec{\tau}_i = \sigma_{yx} \vec{j} + \sigma_{zx} \vec{k}$$

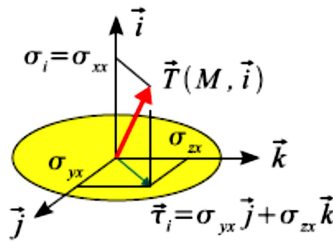


Figure II.7. Vecteur contrainte sur la facette  $\vec{i}$  en  $M$

**Changement de repère :** considérons le repère orthonormé  $\{\vec{i}', \vec{j}', \vec{k}'\}$  avec :

$$\begin{bmatrix} \vec{i}' & \vec{j}' & \vec{k}' \end{bmatrix} = \begin{bmatrix} \vec{i} & \vec{j} & \vec{k} \end{bmatrix} \underbrace{\begin{bmatrix} \vec{i}' \cdot \vec{i} & \vec{j}' \cdot \vec{i} & \vec{k}' \cdot \vec{i} \\ \vec{i}' \cdot \vec{j} & \vec{j}' \cdot \vec{j} & \vec{k}' \cdot \vec{j} \\ \vec{i}' \cdot \vec{k} & \vec{j}' \cdot \vec{k} & \vec{k}' \cdot \vec{k} \end{bmatrix}}_{[R]}$$

et  $[\vec{i}, \vec{j}, \vec{k}] = [\vec{i}', \vec{j}', \vec{k}'] [R]^{-1}$  avec  $[R]^{-1} = [R]^T$ ,  $\det [R] = 1$

Soit  $\vec{N}$  un vecteur de composantes :

$$\{V\} = \begin{Bmatrix} V_x \\ V_y \\ V_z \end{Bmatrix} \quad \text{dans le repère } \{\vec{i}, \vec{j}, \vec{k}\}$$

et :

$$\{V'\} = \begin{Bmatrix} V'_x \\ V'_y \\ V'_z \end{Bmatrix} \text{ dans le repère } \{\vec{i}', \vec{j}', \vec{k}'\}.$$

On a les relations:

$$\vec{V} = \vec{V}' \vec{i}' + \vec{V}' \vec{j}' + \vec{V}' \vec{k}' = [\vec{i}' \ \vec{j}' \ \vec{k}'] \{V'\} = [\vec{i}, \vec{j}, \vec{k}] [R] \{V'\} = [\vec{i}, \vec{j}, \vec{k}] \{V\}$$

On en déduit :

$$\{V\} = [R] \{V'\} \quad , \quad \{V'\} = [R]^{-1} \{V\} = [R]^T \{V\}$$

De la formule de **Cauchy** et des relations :

$$\{T\} = [R] \{T'\} \quad , \quad \{n\} = [R] \{n'\}$$

On déduit :

$$[R] \{T'\} = [\sigma] [R] \{n'\}$$

D'où :

$$\{T'\} = [R]^T [\sigma] [R] \{n'\}$$

Et la formule de transformation pour la matrice des contraintes :

$$[\sigma'] = [R]^T [\sigma] [R]$$

### II.2.4. Equations d'équilibre [3].

Soit  $\vec{f}$  la force par unité de volume appliquée au point de coordonnées  $(x, y, z)$  du solide. Soient  $\vec{\gamma}$  l'accélération du point de coordonnées  $(x, y, z)$  et  $\rho$  la masse volumique du matériau.

#### II.2.4.1. Equilibre en translation [3].

Ecrivons que la projection sur  $x$  de la somme des forces appliquées au parallélépipède rectangle infiniment petit, de centre  $M$  et de cotes  $dx, dy$  et  $dz$ , est nulle (les contraintes qui interviennent sont représentées sur **la figure (II. 8)**) :

$$\begin{aligned} & -\sigma_{xx}(x, y, z) dy dz + \sigma_{xx}(x + dx, y, z) dy dz - \sigma_{xy}(x, y, z) dx dz + \sigma_{xy}(x, y + dy, z) dx dz \\ & - \sigma_{xz}(x, y, z) dx dy + \sigma_{xz}(x, y, z + dz) dx dy + f_x dx dy dz \\ & = (\partial\sigma_{xx}/\partial x) dV + (\partial\sigma_{xy}/\partial y) dV + (\partial\sigma_{xz}/\partial z) dV + f_x dV = \rho dV \gamma_x \end{aligned}$$

Ou  $dV = dx dy dz$ . Il vient après simplification :

$$(\partial\sigma_{xx}/\partial x) + (\partial\sigma_{xy}/\partial y) + (\partial\sigma_{xz}/\partial z) + f_x = \rho \gamma_x$$

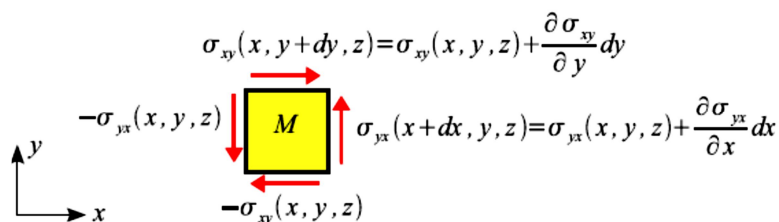


Figure II. 8. Equilibre du parallélépipède suivant  $x$

De même :

$$(\partial \sigma_{yx} / \partial x) + (\partial \sigma_{yy} / \partial y) + (\partial \sigma_{yz} / \partial z) + f_y = \rho \gamma_y$$

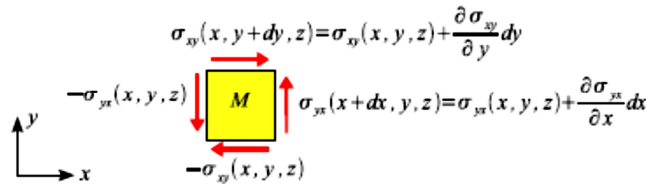
et

$$(\partial \sigma_{zx} / \partial x) + (\partial \sigma_{zy} / \partial y) + (\partial \sigma_{zz} / \partial z) + f_z = \rho \gamma_z$$

**II.2.4.1. Equilibre en rotation : réciprocity des contraintes tangentielles [3].**

Ecrivons que la projection sur  $Mz$  de la somme des moments des forces appliquées au parallélépipède est nulle (les contraintes qui interviennent sont représentées sur la **figure II.9**). Il vient, en négligeant les infiniment petits d'ordre supérieurs à 3 :

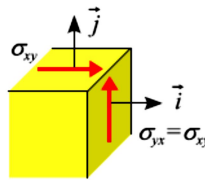
$$dx (dy dz \sigma_{yx}) - dy (dx dz \sigma_{xy}) = 0$$



**Figure II.9.** Equilibre du parallélépipède en rotation suivant z

soit (réciprocity des contraintes tangentielles) :

$$\sigma_{xy} = \sigma_{yx}$$



14

De même :

$$\sigma_{xz} = \sigma_{zx}, \sigma_{yz} = \sigma_{zy}$$

Le tenseur des contraintes est donc symétrique :

$$[\sigma] = [\sigma]^T$$

**II.2.5.Directions et contraintes principales [3].**

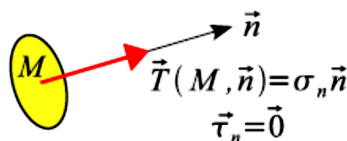
Existe-t-il en  $M$  une facette  $\vec{n}$  telle que le vecteur contrainte soit colinéaire avec  $\vec{n}$  **figure II.11**. ? Dans ce cas, le vecteur cisaillement est nul sur cette facette et le vecteur contrainte  $\vec{T}(M, \vec{n})$  satisfait la relation :

$$\vec{T}(M, \vec{n}) = \sigma_n \vec{n}$$

soit :

$$[\sigma(M)]\{n\} = \sigma_n \{n\}$$

$\sigma_n$  est alors valeur propre du tenseur des contraintes et  $\vec{n}$  est le vecteur propre associé.



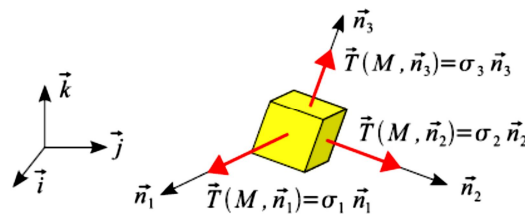
**Figure II.11.** Face et contrainte principale en M

$[\sigma(M)]$  est une matrice symétrique à coefficients réels. Elle a trois valeurs propres réelles (distinctes ou confondues). Si les trois valeurs propres sont distinctes, les vecteurs propres associés sont perpendiculaires entre eux. Il existe donc en  $M$  un repère orthonormé  $\{M; \vec{n}_1, \vec{n}_2, \vec{n}_3\}$  tel que sur les facettes  $\vec{n}_1, \vec{n}_2$  et  $\vec{n}_3$  le vecteur cisaillement soit nul **figure II.12.**  
Les directions  $\vec{n}_1, \vec{n}_2$  et  $\vec{n}_3$  sont les **directions principales**.

Dans le repère principal  $\{M; \vec{n}_1, \vec{n}_2, \vec{n}_3\}$ , le tenseur des contraintes s'écrit :

$$[\sigma]_{\{M; \vec{n}_1, \vec{n}_2, \vec{n}_3\}} = \begin{bmatrix} \sigma_1 & 0 & 0 \\ 0 & \sigma_2 & 0 \\ 0 & 0 & \sigma_3 \end{bmatrix}$$

Ou les contraintes normales  $\sigma_1, \sigma_2$  et  $\sigma_3$  sont les **contraintes principales**.



**Figure II.12.** Faces et contraintes principales en M

Les trois contraintes principales sont les racines de l'équation caractéristique :  
 $P(\sigma_n) = \det ( [\sigma(M)] - \sigma_n [ I ] ) = 0$  ou  $[ I ]$  est la matrice unité de dimension 3, soit:

$$\det \begin{bmatrix} \sigma_{xx} - \sigma_n & \sigma_{xy} & \sigma_{xz} \\ \sigma_{xy} & \sigma_{yy} - \sigma_n & \sigma_{yz} \\ \sigma_{xz} & \sigma_{yz} & \sigma_{zz} - \sigma_n \end{bmatrix} = -\sigma_n^3 + I_1 \sigma_n^2 - I_2 \sigma_n + I_3 = 0$$

Les contraintes principales sont indépendantes du repère  $\{ \vec{i}, \vec{j}, \vec{k} \}$ .  $I_1, I_2$  et  $I_3$  sont des invariants :

$$I_1 = \text{tr} [\sigma] = \sigma_{xx} + \sigma_{yy} + \sigma_{zz} = \sigma_1 + \sigma_2 + \sigma_3$$

$$I_2 = 1/2((\text{tr} [\sigma])^2 - \text{tr} [\sigma]^2) = \sigma_{xx} \sigma_{yy} + \sigma_{xx} \sigma_{zz} + \sigma_{yy} \sigma_{zz} - \sigma_{xy}^2 - \sigma_{xz}^2 - \sigma_{yz}^2$$

$$= \sigma_1 \sigma_2 + \sigma_1 \sigma_3 + \sigma_2 \sigma_3$$

$$I_3 = \sigma_{xx} \sigma_{yy} \sigma_{zz} + 2 \sigma_{xy} \sigma_{xz} \sigma_{yz} - \sigma_{xx} \sigma_{yz}^2 - \sigma_{yy} \sigma_{xz}^2 - \sigma_{zz} \sigma_{xy}^2 = \sigma_1 \sigma_2 \sigma_3$$

Dans le repère principal  $\{M; \vec{n}_1, \vec{n}_2, \vec{n}_3\}$ , les composantes du vecteur contrainte sur la facette  $\vec{n}$  sont :

$$\begin{Bmatrix} T_1 \\ T_2 \\ T_3 \end{Bmatrix} = \begin{bmatrix} \sigma_1 & 0 & 0 \\ 0 & \sigma_2 & 0 \\ 0 & 0 & \sigma_3 \end{bmatrix} \begin{Bmatrix} n_1 \\ n_2 \\ n_3 \end{Bmatrix} = \begin{Bmatrix} \sigma_1 n_1 \\ \sigma_2 n_2 \\ \sigma_3 n_3 \end{Bmatrix}$$

ou  $n_1, n_2$  et  $n_3$  sont les composantes de  $\vec{n}$  . Compte-tenu de la relation :

$$n_1^2 + n_2^2 + n_3^2 = 1$$

on en déduit :

$$T_1^2/\sigma_1^2 + T_2^2/\sigma_2^2 + T_3^2/\sigma_3^2 = 1$$

Quand  $\vec{n}$  varie, l'extrémité du vecteur  $\vec{T}$  ( $M, \vec{n}$ ) se déplace sur l'**ellipsoïde de Lamé** dont les axes sont les directions principales et les demi axes sont  $\sigma_1, \sigma_2$  et  $\sigma_3$ .